



Study of Differential Genes Expression of Uterine tissue Related to EggShell Using Transcriptomics data

Milad Gholami Tahoone^{1*}, Hossein Moradi Shahrebabak²

Received: 28-11-2021

Revised: 13-06-2022

Accepted: 25-06-2022

Available Online: 25-06-2022

How to cite this article:

Gholami Tahoone, M., & Moradi Shahrebabak, H.(2023). Study of differential genes expression of uterine tissue related to eggshell using transcriptomics data.

Iranian Journal of Animal Science Research, 15(1), 107-121.DOI: [10.22067/ijasr.2022.73912.1055](https://doi.org/10.22067/ijasr.2022.73912.1055)

Introduction: Due to the high importance of egg shell quality in terms of hardness, extensive transportation with high volume of this product between different countries, the importance of shell quality in terms of protecting the internal content from extra-shell contamination and also one of the ways to improve traits, relying on The genetic structure of a trait is the application of genetic selection. Therefore, the aim this study is to use transcriptome data obtained from uterine tissue of two groups of laying hens with hard and weak eggshell, in each of the three stages of the calcification period (initiation, growth and termination). Gene expression profile was determined and differential expression of genes is analyzed so that different index genes can be expressed and their ontology can be studied to help the results. As a result, the genetic structure of the trait and the list of index genes have been regularly completed, and with the information obtained from the present study, the correct and practical genetic selection can be made in laying hen breeds.

Materials and Methods: The aim of this study was to investigate the gene expression profile between two groups of chickens with hard and weak eggshells in three stages of calcification period (initiation, growth and termination), to identify significant index genes with different expression and analysis. Ontology and the paths involved are related to them. Therefore, in this study, transcripts (total mRNA sequences) of 18 samples of uterine tissue including three replicates in each stage of each group were prepared. The process of converting the initial format of readings was done using SRAtoolkit software, measuring the quality of readings with fastQC software, editing readings with Trimmomatic software and re-measuring the quality of readings after editing with fastQC software; Also, the alignment and mapping of the readings were done using Hisat2 software and format conversion and sorting of results was performed using Samtools software. Finally, the differential expression analysis of genes was performed using Cufflinks software package (Cufflink, Cuffmerge and Cuffdiff software) and Then, considering p-value <0.00025 and the criterion for comparing the value of differential gene expression, $\log_2(\text{fold_change})$ less than -4 and greater than +4 were identified as the most significant genes with different and significant expression. Histogram of the results was performed using CummeRbund package in R software environment and ontological analysis was performed using DAVID and Ensembl databases.

Results and Discussion: According to the results of gene expression profile, 28833 genes were identified on the transcript of the samples. Finally, by analyzing the differential expression of genes, 1338 genes at the initiation stage, 81 genes at the growth stage and 190 genes at the termination stage were identified with significantly different expressions, that Considering $\log_2(\text{fold_change}) > +4$ and $\log_2(\text{fold_change}) < -4$, 51 genes at the initiation stage, two genes at the growth stage and four genes at the termination stage had different and significant expression. The largest difference in gene expression between the two groups at the initiation stage,

1-Graduated M.Sc. Student, Department of Animal Science, College of Agriculture & Natural Resources, University of Tehran, Karaj, Iran.

2-Associate professor, Department of Animal Science, College of Agriculture & Natural Resources, University of Tehran, Karaj, Iran.

*Corresponding Author's Email: gholami.milad@ut.ac.ir

ENSGALG0000000044418 gene with log₂ (fold_change) equal to 8/63 and at the growth stage, ENSGALG0000000049618 gene with log₂ (fold_change) equal to 6/82 and at the termination stage, ENSGALG0000000049618 gene with log₂ (fold_change) equal to 5/14 was observed. Ontological analysis of index genes showed that they are mainly involved in protein binding activities (ENSGAL00000044418, NMRAL1, SLITRK4, CHL1, ENSGAL0000009041, PHACTR3 and CORIN genes), DNA transcription regulation (LHX1, TFAP2A, RUNX3, ETV1, NR4A3 and RUNX1 genes), immune response (ENSGAL000000043996, TMEM117, AvBD9, GCNT3, ENSGAL00000046947 and ENSGAL00000051617 genes), fat metabolism (PNPLA3, NR4A3, CD36, FFAR4 and DGKB genes) and calcium ion binding (ANXA10, CAPN8, CDH18 and DGKB genes), respectively.

Conclusion: In the differential expression analysis of genes, considering log₂ (fold_change) more than +4 and less than -4, in the initial stage, 51 genes, in the growth stage, two genes and in the termination stage, four genes were identified. The highest differences in gene expression between the two groups were observed in the initial stage, ENSGALG00000044418 and PDZK1IP1 genes, in the growth stage, ENSGALG00000049618, ENSGALG00000048945 and TMEM63C genes and in the termination stage, ENSGALG000000004400 and ENSG26 genes; The results of ontological analysis of index genes showed that they are mainly involved in protein binding, DNA transcription regulation, immune response, lipid metabolism and calcium ion binding, respectively.

Keywords: Calcification, Differential gene expression, Eggshell, Gene ontology, Transcriptome



مقاله پژوهشی

جلد ۱۵، شماره ۱، بهار ۱۴۰۲، ص ۱۰۷-۱۲۱

مطالعه بیان افتراقی ژن‌های بافت رحم مرتبط با کیفیت پوسته تخم مرغ با استفاده از داده‌های ترانسکریپتو میکس

میلاد غلامی طاحونه^۱، حسین مرادی شهربابک^{۲*}

تاریخ دریافت: ۱۴۰۰/۰۹/۰۷

تاریخ بازنگری: ۱۴۰۱/۰۳/۲۳

تاریخ پذیرش: ۱۴۰۱/۰۴/۰۴

چکیده

با توجه به نقش کیفیت مطلوب پوسته تخم مرغ در مواردی همچون حمل و نقل و تبادلات گازی محتوای داخل تخم مرغ با بیرون از آن و نیز یکی از روش‌های بهبود صفات، با تکیه بر ساختار ژنتیکی صفت، اعمال انتخاب ژنتیکی است؛ در این پژوهش با هدف مطالعه پروفایل بیان ژن و تعیین ژن‌های شاخص با بیان متفاوت، داده‌های خام توالی ترانسکریپtom دو گروه مرغ با پوسته تخم سخت و ضعیف در سه مرحله از دوره آهکی شدن پوسته به ترتیب شامل مراحل شروع، رشد و خاتمه مورد بررسی قرار گرفت. ترانسکریپtom (توالی کل mRNA) ۱۸ نمونه از بافت رحم با سه تکرار در هر مرحله از هر گروه از پایگاه داده NCBI اخذ گردید و سپس به ترتیب مراحل پیش‌پردازش خوانش‌ها با نرم‌افزارهای fastQC، SRAtookit و Trimmomatic، هم‌ردیفی و مکان‌یابی خوانش‌ها با نرم‌افزارهای Hisat2 و Samtools و سپس آنالیز بیان و بیان افتراقی با پکیج نرم‌افزاری Cufflinks انجام شد، در انتهای آنالیز هستی شنا سی ژن‌های شاخص در دو پایگاه داده DAVID و Ensemble مورد بررسی قرار گرفت. در نتیجه آنالیز بیان افتراقی، ۲۸۸۳۳ ژن بر روی ترانسکریپtom نمونه‌ها شناسایی شد که در نهایت، ۱۳۳۸ ژن در مرحله شروع، ۸۱ ژن در مرحله رشد و ۱۹۰ ژن در مرحله خاتمه با بیان متفاوت و معنی‌دار شناسایی شد ($P < 0.00025$). با در نظر گرفتن $4 > \log_2(\text{fold_change}) > -4$ ، ۵۱ ژن در مرحله شروع، دو ژن در مرحله رشد و چهار ژن در مرحله خاتمه به عنوان شاخص‌ترین ژن‌ها با بیان متفاوت و معنی‌دار مشخص شدند. آنالیز هستی شناسی ژن‌های شاخص نشان داد، به طور عمده به ترتیب در فعالیت‌های اتصال پروتئین، تنظیم رونویسی DNA، پاسخ ایمنی، متابولیسم چربی و اتصال یون کلسیم نقش دارد.

واژه‌های کلیدی:

آهکی شدن پوسته، بیان افتراقی ژن، پوسته تخم مرغ، ترانسکریپtom، هستی شناسی ژن

مقدمه

با تولید ۲۹/۸ و ۶/۶ میلیون تن رتبه‌های اول تا سوم را داشته‌اند که ایران با رتبه ۲۰ جهان، تولیدی بیش از ۷۵۵ هزار تن را ثبت نموده است؛ طبق آمار همین سازمان، در سال ۲۰۲۰ کشورهای نیوزلند، ترکیه و لهستان به ترتیب با میزان ۴۱۵، ۲۱۷ و ۱۹۸ هزار تن، بیشترین صادرات تخم مرغ با پوسته را در کارنامه خود ثبت کردند

طبق آمار سازمان خواربار و کشاورزی ملل متحد (FAO) در سال ۲۰۲۰ میلادی در مجموع در جهان ۸۶/۶ میلیون تن تخم مرغ تولید شده است که کشورهای چین، سرزمین مرکزی چین و آمریکا به ترتیب

۱- دانش آموخته کارشناسی ارشد، گروه علوم دامی، دانشکدگان کشاورزی و منابع طبیعی، دانشگاه تهران، کرج، ایران.

۲- دانشیار، گروه علوم دامی، دانشکدگان کشاورزی و منابع طبیعی، دانشگاه تهران، کرج، ایران.

(*)- نویسنده مسئول: (Email: gholami.milad@ut.ac.ir)

حاصل از بافت رحم دو گروه از مرغ‌های تخم‌گذار با پوسته تخم سخت و ضعیف، در هر یک از سه مرحله دوره آهکی شدن پوسته (شروع، رشد و خاتمه)، پروفایل بیان ژن‌ها تعیین و آنالیز بیان افتراقی ژن‌ها انجام شود، تا در نهایت، بتوان ژن‌های شاخص متفاوت بیان شده و نیز هستی شناصی آن‌ها مورد مطالعه قرار گیرد تا به کمک نتایج حاصل، ساختار ژنتیکی مربوط به صفت کیفیت پوسته تخم مرغ، هر چه بیشتر معین گردد.

مواد و روش‌ها

اخذ داده از پایگاه اطلاعاتی

داده‌های ترانسکریپتوم حاصل از ۱۸ نمونه بافت رحم در دو گروه با پوسته تخم مرغ سخت و ضعیف در سه مرحله متوالی شروع، رشد و خاتمه دوره آهکی شدن پوسته در مرغ‌های نژادهای -لاین- قهوه‌ای در سن ۴۲ هفتگی است که توسط دانشکده تغذیه و علوم تغذیه حیوانات دانشگاه کشاورزی هواجونگ چین به صورت کتابخانه ترانسکریپتوم با روش سانگر با استفاده از تکنیک ایلومینا توالی‌بابی و تهیه شده است. ۱۸ نمونه بافت مربوط به دو گروه و هر گروه شامل سه زیر گروه (سه مرحله آهکی شدن پوسته) بوده که هر زیر گروه شامل سه قطعه مرغ در دوره تخم‌گذاری بوده است. خوانش‌های حاصل از توالی به صورت جفتی (رفت و برگشت) با طول ۵۰-۱۵۰ متر جفت باز بودند. داده‌های خام از تاریخ ششم مارس سال ۲۰۱۹ در پایگاه اطلاعاتی NCBI با فرمت sra به صورت رایگان از طریق لینک زیر در دسترس است:

<https://www.ncbi.nlm.nih.gov/sra/SRR8692161>

پس از اخذ ۱۸ نمونه داده خام از توالی ترانسکریپتوم از پایگاه داده NCBI، تمامی مراحل آماده‌سازی و تجزیه تحلیل آن‌ها در محیط گرافیکی سیستم عامل لینوکس اوبونتو سری ۲۱۰۴ نسخه ۶۴ بیت بر روی کامپیوتر شخصی (تعداد هسته: هفت عدد، میزان رم: هشت گیگ و میزان حافظه: بک ترابایت) غیر متصل به سرور به ترتیب مراحل زیر انجام شد.

تبديل فرمت خوانش‌ها

به علت این که پکیج‌های نرم‌افزاری مورد استفاده در ادامه مسیر آنالیز، توانایی خوانش داده‌های ترانسکریپتومیکس با فرمت fastq را دارند، تبدیل فرمت sra به fastq با استفاده از نرم‌افزار نسخه ۲۰,۲ و کد دستوری زیر انجام شد:

```
fastq-dump --gzip -O [output] [sra_file]
```

سنجدش کیفیت خوانش‌ها

سنجدش کیفیت با استفاده از نرم‌افزار fastQC نسخه ۱۱/۹ در

و ایران در سال ۲۰۲۰ میلادی توانسته ۱/۷ هزار تن صادرات انجام دهد (FAO, 2020). طبق آخرین آمار منتشر شده جهانی، می‌توان نتیجه گرفت صنعت تولید تخم مرغ خوارکی، صنعتی با میزان تولید محصول زیاد و نیز نیازمند حمل و نقل اعم از صادرات و واردات است؛ اما به دلیل حساسیت پوسته تخم مرغ نسبت به نیروی خارجی و نیز با توجه به نزدیک شدن تولید تخم مرغ به حد بیولوژیکی یک تخم در روز، انجام گرفتن بهینه دوره آهکی شدن پوسته و نیز ایجاد تخم مرغ با ضخامت پوسته مطلوب، امری مؤثر بر اقتصاد این صنعت و نیز بازار پسندی محصول می‌باشد؛ از سوی دیگر، نازکی بیش از حد پوسته، خود عاملی بر افزایش آسیب‌پذیری محتوای درون تخم مرغ نسبت به عوامل آلوده کننده خارجی اعم از نفوذ گازها و مواد شیمیایی می‌شود.

بیان ژن مکانیسمی حساب شده، پیچیده و تنظیم‌گر است که باعث می‌شود، ژنتیک به صورت فنوتیپ ظاهر شود (Banabazi et al., 2012). در واقع کدهای ژنتیکی که در مولکول DNA ذخیره شده‌اند، بهو سیله بیان ژن‌ها تفسیر می‌شوند و خصوصیات و نحوه بیان ژن Banabazi et al., 2012) باعث به وجود آمدن فنوتیپ در ارگانیسم خواهد شد (al., 2012). مطالعات بیان ژن به تولید حجم زیادی از داده‌ها در این زمینه منجر شده است که در میان انواع متعدد داده‌های بیان ژن، داده‌های RNA-seq به سبب شامل شدن توالی نواحی رونویسی شده و پوشش دادن همه این نواحی دارای مزیت زیادی نسبت به سایر انواع داده‌ها هستند؛ در سال‌های اخیر امکانات رایانه‌ای آنالیز این حجم از داده‌ها را در زمان و با هزینه کم امکان‌پذیر ساخته است. از مزایای استفاده از داده‌های RNA-seq، شناسایی ژن‌های جدید است (Gan et al., 2010; Sultan et al., 2008) اساس روش تولید داده‌های RNA-seq، بُرش کل ترانسکریپتوم (mRNA) به قطعات کوچک و سپس توالی‌بابی همه این قطعات است (Haas and Zody, 2010). از این رو، از روی تعداد خوانش‌های مکان‌یابی شده برای یک ناحیه خاص، می‌توان به یک معیار دقیق از میزان رونویسی آن ناحیه رسید (Marguerat and Bahler, 2010; Ekblom and Galindo, 2010; Wilhem and Landry, 2009). شاخص بیان ژن یا به عبارت دیگر، معیار بیان ژن در این روش، محاسبه تعداد خوانش یا قطعه در حد کیلوپاژ بهازای هر یک میلیون خوانش مکان‌یابی شده می‌باشد (Mortazavi et al., 2008)، که این شاخص برای طول ژن و تعداد کل خوانش‌های مکان‌یابی شده در هر نمونه تصحیح شده و مقادیر برآورد شده برای ژن‌های مختلف با هر طول و تعداد خوانش قابل مقایسه و آزمون می‌باشد.

با توجه به اهمیت بالای صفت کیفیت پوسته تخم مرغ از نظر سختی که در حد مطلوب باشد و نیز یکی از روش‌های بهبود صفات، با تکیه بر ساختار ژنتیکی صفت، اعمال انتخاب ژنتیکی است؛ پس در این پژوهش، هدف بر آن است که با استفاده از داده‌های ترانسکریپتوم

همردیفی و مکانیابی خوانش‌ها بر روی ژنوم مرجع در استراتژی مکانیابی و همردیفی خوانش‌ها، ابتدا لازم است ژنوم مرجع نمایه یا ایندکس شود تا نمایه کاملی از اطلاعات موجود در ژنوم مرجع حاصل شود تا در زمان مکانیابی بتوان بیشترین همردیفی را حاصل نمود. بسیاری از نرم‌افزارهای همردیف‌کننده، پیش از نقشه‌یابی، ژنوم مرجع را ایندکس کرده و سپس از ژنوم تازه ایندکس شده استفاده می‌کنند. برای ایندکس کردن ژنوم مرجع تو سطح نرم‌افزار Hisat2 نسخه ۲،۲،۱ از کد دستوری زیر استفاده شد:

```
Hisat2-build [genome-reference.fa] [output-
directory/index-genome]
پس از ایندکس کردن ژنوم مرجع، هشت فایل تولید شد که به منظور افزایش میزان دقت و صحت نقشه‌یابی، علاوه‌بر این هشت فایل، از ژنوم مرجع و فایل حاشیه‌نویسی آن نیز برای همردیفی و نقشه‌یابی استفاده می‌شود. همردیفی خوانش‌های کوتاه بر روی ژنوم مرجع نیز با استفاده از نرم‌افزار Hisat2 انجام شد (Kim et al., 2015). ویژگی این نرم‌افزار در این است که با تأمین اطلاعات مربوط به ژن‌ها و انواع ترانسکریپت آن‌ها، پیش‌آگاهی از محل اتصال برش‌ها، برش‌ها و در نظر گرفتن الگوهای جایگزین برای اتصال برش‌ها، خوانش‌های مربوط به اتصال برش‌ها که بخشی از توالی آن‌ها با توالی اگزون قل و بخشی دیگر با توالی اگزون‌های بعدی همردیف می‌گردد را با سرعت و دقت بالاتری از تو سام‌بیل و مکانیابی می‌کند (Bahrami, 2020).
```

برای همردیفی و مکانیابی خوانش‌ها بر روی ژنوم مرجع از کد دستوری زیر استفاده شد:

```
hisat2 -p 7 --dta-cufflinks --very-sensitive -x
[index-genome] input-1.fq input-2.fq -S output.sam
برای انجام ادامه آنالیز، لازم است که خروجی SAM مربوط به خوانش‌ها، به‌فرمت BAM که حاوی نتایج مکانیابی و پوشش هر خوانش بر روی ژنوم می‌باشد، تبدیل شود. این تبدیل فرمت با استفاده از پکیج نرم‌افزاری samtools با کد دستوری زیر انجام شد:
```

```
samtools view -b -S [output-file.bam] [input-
file.sam]
```

در ادامه لازم است فایل‌های BAM تولید شده بر اساس کروموزوم‌ها به‌ترتیب مرتب شوند و سپس ایندکس از آن‌ها تهیه شود تا بتوان نمایه‌ای از اطلاعات به‌ترتیب شماره کروموزوم حاصل نمود، که با کد دستوری‌های زیر انجام شد:

```
samtools sort [bam-file.bam] -o [output-sort.bam]
samtools index [sort.bam]
```

سرهم کردن ترانسکریپتوم

به‌منظور همردیفی خوانش‌ها و سرهم کردن ترانسکریپتوم‌های موجود، از بسته نرم‌افزار Cufflinks نسخه ۲/۲/۱ استفاده شد (Github, 2017). در این بسته نرم‌افزاری دلیل اصلی سرهم کردن مجدد، در نظر گرفتن تمام ترانسکریپت‌ها، ژن‌ها، اگزون‌ها و سایر

محیط جاوا با کمک منوی اصلی، برای هر خوانش به‌طور جداگانه با ۱۰ آزمون مختلف انجام شد (Andrews, 2010). نرم‌افزار نتیجه هر آزمون را جداگانه بررسی نموده و وضعیت قبول، هشدار یا رد برای آن‌ها را به‌ترتیب با رنگ‌های سیز، تارنجی و قرمز در کنار عنوان هر آزمون در پنل سمت چپ نرم‌افزار نشان می‌دهد. در نهایت، برای ساس نتیجه کیفیت همه نوکلئوتید‌ها، راجع به کیفیت طول کل خوانش تصمیم‌گیری می‌شود.

ویرایش خوانش‌ها

در صورتی که داده‌های جفتی (رفت و برگشت) نیاز به ویرایش داشته باشند، نرم‌افزار Trimmomatic نسخه ۰/۳۹ برای داده‌های توالی‌یابی نسل جدید شرکت ایلومینا بهینه‌سازی شده است (Bolger et al., 2014). وظایف این نرم‌افزار شامل حذف آداتورها و حذف یا ویرایش خوانش‌های بی‌کیفیت است، که فهرست آداتورهای به‌کار رفته در زمان توالی‌یابی با توجه به دستگاه مورد استفاده به صورت پیش‌فرض در بر نامه قرار دارد. در این پژوهش، با در نظر گرفتن حداقل طول خوانش‌ها ۵۰ جفت باز، برای ویرایش خوانش‌ها از کد دستوری زیر استفاده شد:

```
Trimmomatic PE -threads 7 [input_data1.fq]
[input_data2.fq] [clean_read1.fq] [trash_read1.fq]
[clean_read2.fq] [trash_read2.fq] TRAILING:20
SLIDINGWINDOW:6:20 MINLEN:25
```

سنجهش مجدد کیفیت خوانش‌ها

پس از ویرایش، به جهت اطمینان از صحت نتیجه آن، بار دیگر کیفیت خوانش‌ها با استفاده از نرم‌افزار fastQC مورد سنجش قرار می‌گیرد تا بتوان با توجه به نتیجه نهایی ویرایش، برای ادامه دادن مسیر تصمیم‌گیری نمود.

تشکیل ترانسکریپتوم

از اهداف مهم آنالیز داده‌های ترانسکریپتوم، باز سازی مجموعه‌ای کامل از ترانسکریپت ژن‌ها و نیز تخمین میزان سطوح بیان تمام ترانسکریپت‌های است. برای محاسبه سطح بیان ترانسکریپت‌ها، مکانیابی خوانش‌ها بر روی ژنوم مرجع اسست که مکان دقیق خوانش‌ها را مشخص می‌کند. برای انجام این مرحله، علاوه‌بر خوانش‌های ویرایش شده، نیاز به داده‌های ژنوم مرجع و اطلاعات حاشه‌نوبیسی است که آخرین نسخه به‌روز شده ژنوم مرجع مرغ به همراه فایل حاشه‌نوبیسی مربوطه، از بانک اطلاعاتی Ensemble به آدرس‌های زیر دریافت شد:

http://ftp.ensembl.org/pub/release-104/fasta/gallus_gallus/dna/
http://ftp.ensembl.org/pub/release-104/gtf/gallus_gallus/

تصویرسازی نتایج

فایل خروجی آنالیز بیان افتراقی ژن‌ها با استفاده از Excel قابل مشاهده است، ولی برای تصویرسازی نتایج در قالب پلات و گراف‌های قابل فهم‌تر، از پکیج CummeRbund در محیط نرم‌افزار R استفاده شد.

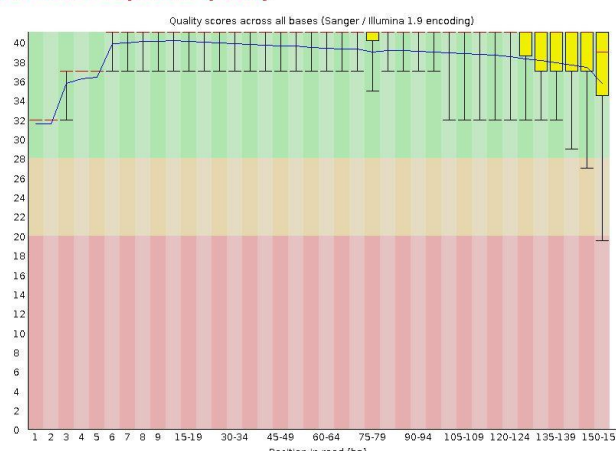
آنالیز هستی‌شناسی ژن

در هستی‌شناسی ژن، داده‌های مورد نظر طبقه‌بندی و ارتباط آن‌ها با هم مطالعه می‌شوند. در این پژوهش، آنالیز هستی‌شناسی ژن‌های معنی‌دار با بیان متفاوت، به وسیله پایگاه‌های مربوط به هستی‌شناسی Ensemble (https://david.ncifcrf.gov/) و DAVID (https://www.ensembl.org/Chicken/) انجام شد.

نتایج و بحث

پس از تبدیل فرمت داده‌ها و انجام سنجش کنترل کیفیت، طبق گزارش حاوی آماره‌های پایه، توالی‌های بین ۱۹ تا ۲۳ میلیون خوانش کوتاه جفتی (از هر دو انتهای توالی یابی شده) با طول ۵۰-۱۵۰ جفت باز برای نمونه‌ها به دست آمد. در آزمون کنترل کیفیت تک نوکلئوتیدی، محور افقی نمودار بیانگر موقعیت هر جفت باز بر روی خوانش و محور عمودی بیانگر نمره فرید (phred score) است که نمونه با نمره بالاتر از ۲۸ (منطقه سبز) به عنوان نمونه با کیفیت بالا تلقی می‌شود که طبق گراف مربوط به نمونه مورد نظر، کیفیت نمونه خوب می‌باشد (شکل ۱).

Per base sequence quality



شکل ۱- آزمون کنترل کیفیت تک نوکلئوتیدی مربوط به نمونه "SRR8692161"

Figure 1- per base sequence quality related to "SRR8692161" sample.

از کل خوانش‌ها کثار گذاشته شد و طبق آزمون کنترل کیفیت تک نوکلئوتیدی، نمره فرید نوکلئوتید‌های انتهای توالی خوانش افزایش یافته و کیفیت نمونه‌ها نسبت به قبل افزایش یافت و توالی

ویژگی‌های مختص تیمار مورد بررسی است که این ویژگی‌های ژنی در ترانسکریپتوم مرجع موجود نبودند. کد دستوری زیر جهت هم‌ردیفی و سرهم کردن خوانش‌ها استفاده شد:

```
cufflinks -p 7 -g [reference-genome.gtf] -o [output-name] -L [output-name] [sort.bam]
```

تلغیق ترانسکریپتوم‌ها

بعد از اتمام هم‌ردیفی و اسambilی هر کدام از نمونه‌ها، ترانسکریپتوم‌های تشکیل شده از هر نمونه توسط نرم‌افزار cuffmerge با یکدیگر ادغام می‌شوند و یک فایل ترانسکریپتوم جدید مرجع ادغام شده برای تمامی تکرارهای هر نمونه حاصل می‌شود. لازم به ذکر است، قبل از تلغیق ترانسکریپتوم، ترانسکریپتوم‌های هر گروه در قالب یک فایل با فرمت متن ذخیره شده‌اند. برای ادغام از کد دستوری زیر استفاده شد:

```
cuffmerge -p 7 -o [output-merge] -g [reference-genome.gtf] [assembly-grf-list.txt]
```

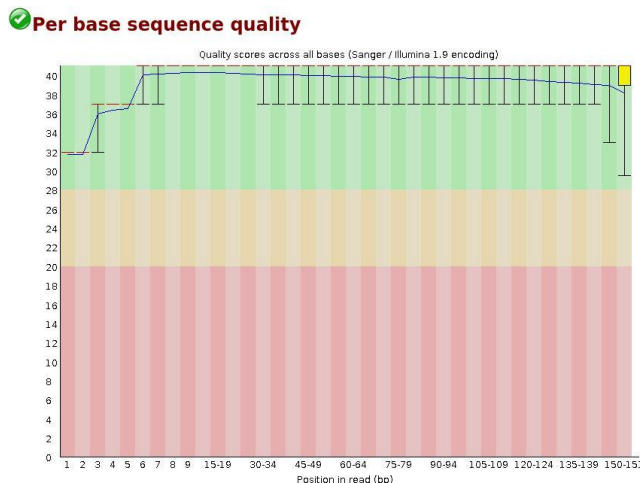
محاسبه بیان افتراقی ژن

برای تست آماری میزان بیان ژن بین دو نمونه، از نرم‌افزار cuffdiff استفاده شد. این نرم‌افزار ژن‌هایی که از نظر آماری هر گونه تفاوت معنی‌داری در بیان را نشان می‌دهند، شناسایی می‌کند. با استفاده از کد دستوری زیر، ژن‌های با بیان متفاوت شناسایی شدند:

```
cuffdiff -p 7 --library-norm-method classic-fpkpm -o [output-file] -L [input1,input2] [merge.gtf] [input1-sort.bam] [input2-sort.bam]
```

با در نظر گرفتن حداقل طول خوانش ۵۰ جفت باز و سنجش کنترل کیفیت پس از ویرایش مشخص گردید که ۱۸ تا ۲۲ میلیون خوانش با کیفیت مناسب برای نمونه باقی ماند و کمتر از ۱۰ درصد

خوانش‌های با کیفیت بالا (منطقه سبز رنگ) نگهداری شدند (شکل ۲).



شکل ۲- آزمون کنترل کیفیت تک نوکلئوتیدی پس از ویرایش مربوط به نمونه "SRR8692161"

Figure 2- per base sequence quality after trimming related to "SRR8692161" sample

نمودار هیستوگرام ژن‌های شاخص مورد مطالعه بین دو گروه در هر یک از مراحل دوره آهکی شدن پوسته ترسیم گردید (شکل ۳ و ۵). در نمودار هیستوگرام، محور افقی شامل ژن‌های شاخص مورد مطالعه ($\log_2(\text{fold_change}) > +4$ & $\log_2(\text{fold_change}) < -4$) است. میلیون خوانش مکان‌یابی شده به علاوه یک واحد (FPKM+1) است. با توجه به ارتفاع ستون‌های مندرج در شکل ۳، به ترتیب ژن‌های، سخت و تنها ژن NR4A3 در گروه با پوسته تخم ضعیف بیشترین سخت و تنها ژن در گروه با پوسته تخم ضعیف به ژن بیان را داشته‌اند و نیز بیشترین تفاوت بیان مربوط به ژن ENSGALG00000046947 و PNPLA3 با میزان $\log_2(\text{fold_change})$ برابر با ۸/۶ است؛ ارتفاع ستون‌های ممندرج در شکل ۴، ژن ENSGALG00000049618 در گروه با پوسته تخم سخت و ژن ENSGALG00000048945 در گروه با پوسته تخم ضعیف بیشترین بیان را داشته‌اند و نیز بیشترین تفاوت بیان مربوط به ژن ENSGALG00000049618 با میزان $\log_2(\text{fold_change})$ برابر با ۶/۸ است و ارتفاع ستون‌های ممندرج در شکل ۵، بیان تمامی ژن‌های شاخص در مرحله خاتمه دوره آهکی شدن پوسته، در گروه با پوسته تخم ضعیف بیشتر از گروه دیگر بوده است و ژن MIR12247-1 بیشترین بیان را داشته است؛ همچنین در مقایسه بین دو گروه در مرحله خاتمه، ژن ENSGALG00000049618 با میزان $\log_2(\text{fold_change})$ برابر با ۵/۱ بیشترین تفاوت بیان را داشته‌اند. آنالیز هستی‌شناسی ژن‌های شاخص مورد مطالعه در مرحله شروع (جدول ۴)، مرحله رشد (جدول ۵) و مرحله خاتمه (جدول ۶) بر اساس سه دسته بندی عمومی فرآیندهای زیستی، عملکرد مولکولی و اجزای

طبق اطلاعات خروجی در انتهای آنالیز هم‌ردیفی و مکان‌یابی خوانش‌ها بر روی ژنوم مرجع، میانگین درصد مکان‌یابی خوانش‌ها بیش از ۸۰ درصد و خوانش‌های با محل هم‌ردیفی چندگانه کمتر از یک درصد بودند و با تشکیل پروفایل بیان ژن برای هر یک از زیر گروه‌های حاوی نمونه در هر یک از مراحل دوره آهکی شدن پوسته و نیز آنالیز بیان افتراقی بین زیر گروه‌های مشابه در بین دو گروه نمونه حاصل از مرغ‌های با پوسته سخت و ضعیف، در نهایت با تجزیه‌تحلیل نتایج خروجی، ۳۵۳۴۲ ژن و ۱۰۷۷۲۲ ایزوفرم شناسایی شد که از این میان ۱۳۳۸ ژن با بیان متفاوت در مرحله شروع، ۸۱ ژن در مرحله رشد و ۱۹۰ ژن در مرحله خاتمه مشخص شد که از $p < 0.00025$. در ادامه به جهت رسیدن به تصویر مناسبی از تغییرات بیان در مقایسه‌های دو به دو و شناسایی ژن‌های شاخص با بیان متفاوت، میزان معیار $\log_2(\text{fold_change})$ اباهگونه‌ای در نظر گرفته شده است که در هر سه مرحله، شاخص ترین ژن‌ها مورد شناسایی و بررسی قرار گیرند؛ از این رو، ژن‌های با $\log_2(\text{fold_change})$ بیشتر از $+4$ و کمتر از -4 برای مطالعه انتخاب شدند که شامل ۵۱ ژن در مرحله شروع (جدول ۱)، دو ژن در مرحله رشد (جدول ۲) و چهار ژن در مرحله خاتمه (جدول ۳) می‌باشند.

نتایج جداول فوق نشان می‌دهند که در مرحله شروع، تعداد ژن‌های شاخص بیشتری با میزان معیار $\log_2(\text{fold_change}) > +4$ نسبت به دو مرحله دیگر شناسایی <-4 و $\log_2(\text{fold_change}) < -4$ شده‌اند، که خود می‌تواند بیانگر وجود تفاوت بیان بیشتر در سطح ژنوم بین دو گروه در این مرحله باشد؛ همچنین در سه مرحله دوره آهکی شدن پوسته، تنها شناسه ژن XLOC_008910 ما بین دو مرحله رشد و خاتمه به عنوان ژن‌های شاخص با بیان متفاوت، مشترک شناسایی شده‌اند.

سلولی انجام و ارائه شده است.

جدول ۱- شناسه، نام یا کد، جایگاه و ارزش p-مُن‌های شاخص متفاوت بیان شده در مرحله شروع دوره آهکی شدن پوسته

Table 1- Identifier, name or code, position and p-value of indicator genes differentially expressed in the initiation stage of the calcification period

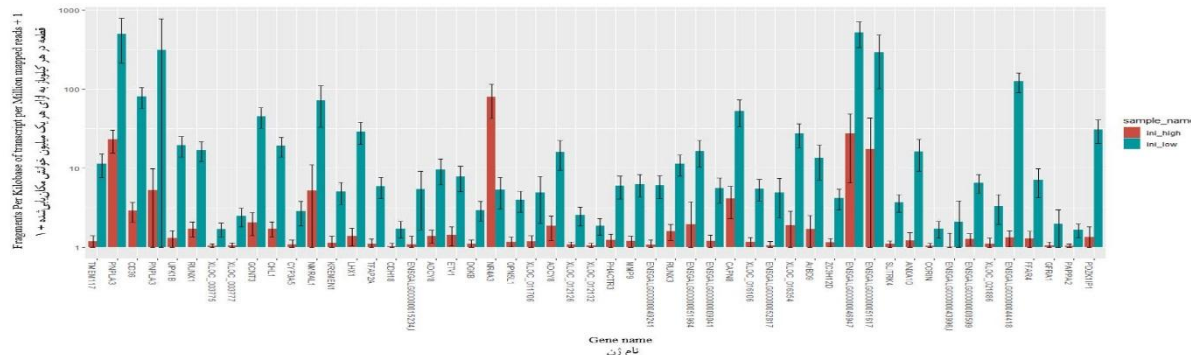
شناسه ژن Gene_id	نام یا کد ژن Name or gene code	جایگاه Locus	ارزش p_value
XLOC_022317	ENSGALG0000004418 ENSGALG00000043996 ENSGALG00000044755 ENSGALG00000045876 ENSGALG00000047967 ENSGALG00000048572 ENSGALG00000052476 ENSGALG00000052817	5:14892237-14898052	0.00005
XLOC_021085	LHX1 ANXA10 PNPLA3 ENSGALG00000049241	4:85657237-85900720	0.00005
XLOC_016325	UPK1B TMEM117	3:69232233-69353759 1:69011399-69090996 22:76807-89630 1:30224568-30431209	0.00005 0.00005 0.00005 0.00005
XLOC_009120	TFAP2A	2:63284964-63301149	0.00005
XLOC_019526	CD36	1:11331665-11404784	0.00005
XLOC_002605	GCNT3	10:5852886-5887192	0.00005
XLOC_013171	-	3:73133293-73138023	0.00005
XLOC_002772	MMP9	20:10572273-10576665	0.00005
XLOC_000247	SLITRK4	4:9895861-9908452	0.00005
XLOC_010329	ZC3H12D	1:32040296-32044590	0.00005
XLOC_010003	CHL1	12:17603135-17708756	0.00005
XLOC_002039	-	3:48201990-48215042	0.00005
XLOC_004693	ADCY8	2:120693001-120714502	0.00005
XLOC_016354	PNPLA3	2:140875169-140995082	0.00005
XLOC_012502	ENSGALG00000009041	1:69011399-69090996	0.00005
XLOC_016106	RUNX1	3:8772208-8777996	0.00005
XLOC_019359	PHACTR3	1:107353573-107513309	0.00005
XLOC_003777	ENSGALG00000008599	20:6735474-6830610	0.00005
XLOC_005715	ENSGALG00000046947	5:24851725-24885341	0.00005
XLOC_017188	DGKB	31:2413209-2413512	0.00005
XLOC_011706	-	2:27385425-27720368	0.00005
XLOC_010601	-	2:79230058-79235013	0.00005
XLOC_000699	OPN5L1	31:2422484-2443234	0.00005
XLOC_015702	ADCY8	2:106222092-106258854	0.00005
XLOC_002973	RUNX3	2:140875169-140995082	0.00005
XLOC_012404	-	23:2591780-2635428	0.00005
XLOC_021710	NMRAL1	2:79639930-79644453	0.00005
XLOC_018319	CAPN8	14:13089511-13149359	0.00005
XLOC_010948	PAPPA2	3:17803815-17833098	0.00005
XLOC_012126	ETV1	8:7156618-7232054	0.00005
XLOC_018508	ENSGALG00000051617	2:27271071-27337505	0.00005
XLOC_011589	-	23:5829851-5834748	0.00005
XLOC_011878	NR4A3	1:32027118-32032886	0.00005
XLOC_013499	PDZK1IP1	2:89336025-89389150	0.00005
XLOC_012132	CDH18	8:22247457-22251895	0.0001
XLOC_007199	AvBD9	2:74189948-74446617	0.0001
XLOC_015815	CORIN	3:107430691-107459717	0.0001
XLOC_025365	KREMEN1	4:66638160-66761091	0.00015
XLOC_010947	CYP3A5	15:8089944-8111256	0.0002
XLOC_013760	-	14:4322582-4332428	0.0002
XLOC_003775	-	5:41926379-42116783	0.00025
XLOC_011450	-		
XLOC_025534	-		
XLOC_010076	-		
XLOC_016657	-		
XLOC_019907	-		
XLOC_007726	-		
XLOC_007047	-		
XLOC_021886	-		

جدول ۲- شناسه، نام یا کد، جایگاه و ارزش p ژن‌های شاخص متفاوت بیان شده در مرحله رشد دوره آهکی شدن پوسته**Table 2-** Identifier, name or code, position and p-value of indicator genes differentially expressed in the growth stage of the calcification period

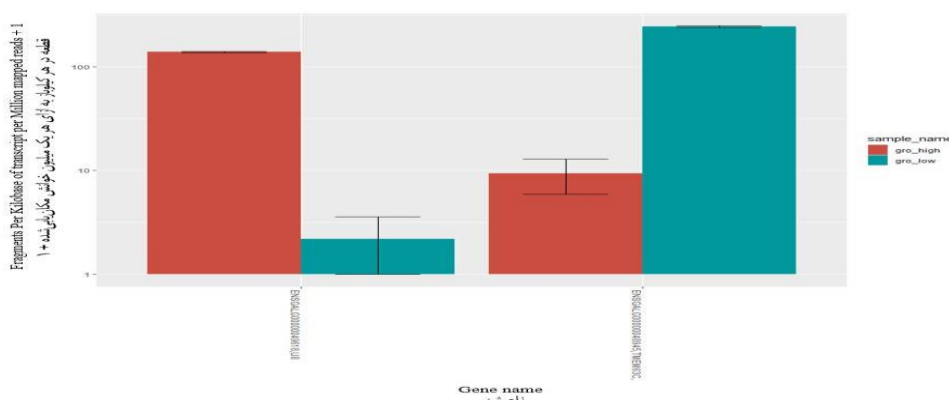
شناخته ژن Gene_id	نام یا کد ژن Name or gene code	جایگاه Locus	ارزش p P_value
XLOC_008910	ENSGALG00000049618	18:11326495-11332858	0.00005
XLOC_021869	ENSGALG00000048945	5:39323944-39354365	0.00005

جدول ۳- شناسه، نام یا کد، جایگاه و ارزش p ژن‌های شاخص متفاوت بیان شده در مرحله خاتمه دوره آهکی شدن پوسته**Table 3-** Identifier, name or code, position and p-value of indicator genes differentially expressed in the termination stage of the calcification period

شناخته ژن Gene_id	نام یا کد ژن Name or gene code	جایگاه Locus	ارزش p p_value
XLOC_008910	ENSGALG00000049618	18:11326495-11332858	0.00005
XLOC_007996	ENSGALG00000054226	16:1702927-1709590	0.00005
XLOC_014979	HSPB9	27:7654019-7655569	0.00005
XLOC_013278	MIR12247-1	22:5177338-5230538	0.00005

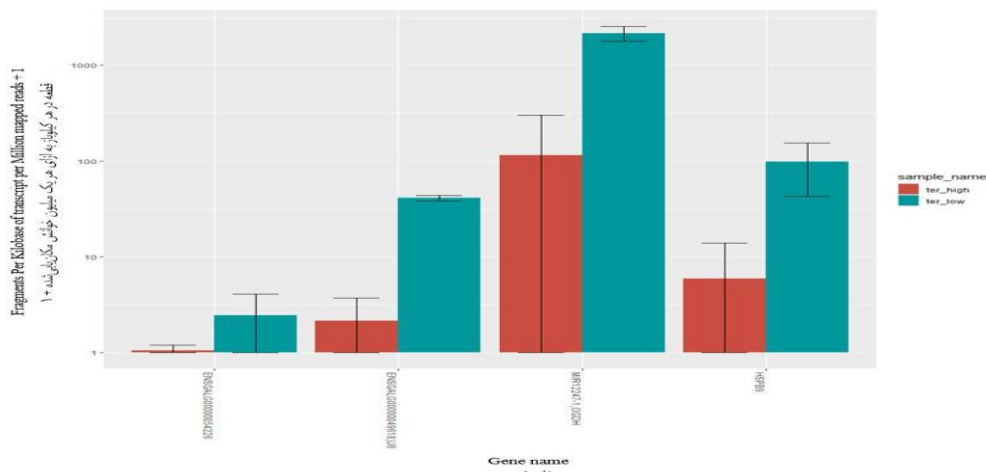
**شکل ۳**- نمودار هیستوگرام تفاوت بیان ژن‌های شاخص در مرحله شروع دوره آهکی شدن پوسته بین دو گروه

(ini_low: مرحله شروع با پوسته سخت و ini_high: مرحله شروع با پوسته ضعیف)

Figure 3- Histogram plot of differential indicator genes expression in the initiation stage of the calcification period between two groups
(ini_high: initiation stage with high eggshell, ini_low: initiation stage with low eggshell)**شکل ۴**- نمودار هیستوگرام تفاوت بیان ژن‌های شاخص در مرحله رشد دوره آهکی شدن پوسته بین دو گروه

(gro_low: مرحله رشد با پوسته سخت و gro_high: مرحله رشد با پوسته ضعیف)

Figure 4- Histogram plot (Right) & Heatmap plot (Left) of differential indicator genes expression in the growth stage of the calcification period between two groups
(gro_high: growth stage with high eggshell, gro_low: growth stage with low eggshell)



شکل ۵- نمودار هیستوگرام تفاوت بین ژن‌های شاخص در مرحله خاتمه دوره آهکی شدن پوسته بین دو گروه
(ter_low: مرحله خاتمه گروه با پوسته سخت و ter_high: مرحله خاتمه گروه با پوسته ضعیف)

Figure 5- Histogram plot of differential indicator genes expression in the termination stage of the calcification period between two groups
(ter_high: termination stage with high eggshell, ter_low: termination stage with low eggshell)

جدول ۴- آنالیز هستی‌شناسی ژن‌های شاخص متفاوت بیان شده در مرحله شروع دوره آهکی شدن پوسته

Table 4- Gene ontology analysis of indicator genes differentially expressed in the initiation stage of the calcification period

نام ژن Gene name	فرآیند زیستی Biological process	اجزای سلولی Cellular components	عملکرد مولکولی Molecular function
ENSGALG00000044418	تنظيم رگزایی Regulation of angiogenesis	فضای خارج سلولی Extracellular space	اتصال به پروتئین Protein binding
ENSGALG00000043996	ایمنی به‌واسطه سلول T, مسیر سیگنالینگ گیرنده سطح سلول	غشاء	-
ENSGALG00000044755	T cell-mediated immunity, A cell surface receptor signaling pathway	membrane	-
ENSGALG00000045876	توسعه رحم و تخمدان، توسعه و تمایز مخچه، تنظیم بیان ژن، تمایز سلولی، تمایز نورونی	هسته، مجموعه پروتئین Nucleus, Protein complex	فعالیت فاکتور رونویسی اتصال DNA DNA binding transcription factor activity, DNA binding
LHX1	Uterus and ovary development, Cerebellum development and differentiation, Regulation of gene expression, Cell differentiation, Neuronal differentiation	میتوکندری Mitochondria	اتصال یون کلسیم، اتصال فسفولیپید و ابسته به کلسیم
ANXA10	-	میتوکندری Mitochondria	Calcium ion binding, Calcium-dependent phospholipid binding فعالیت تری گلیسرید لیپاز، فسفولیپاز A2 و هیدرولаз
PNPLA3	فرآیند کاتابولیک و بیوسنتز تری گلیسرید، فرآیند متabolیک لپید، هموستاز چربی Catabolic process and triglyceride biosynthesis, Lipid metabolic process, Lipid homeostasis	چربی Membrane, Cytoplasm, Lipid droplet	Triglyceride lipase, Phospholipase A2 and Hydrolase activity
UPK1B	تمایز سلول‌های اپتیلیال Differentiation of epithelial cells	غشاء، غشاء پلاسمایی Apical plasma membrane	-

		مسیر سیگنال دهنده آپوپتوز در پاسخ به استرس شبکه آندوبلاسمی	غشاء، شبکه آندوبلاسمی	-
TMEM117		Apoptotic signaling pathway in response to endoplasmic reticulum stress	Membrane, Endoplasmic reticulum	
ENSGALG00000015234		انتقال غشاء کلرید	غشاء	فعالیت انتقال دهنده غشاء کلرید
ENSGALG00000053346		Chloride membrane transport	Membrane	Membrane chloride transporter activity
TFAP2A		تنظیم رونویسی DNA, تنظیم تکثیر سلولی، توسعه ساختار آناتومی	هسته، دستگاه گلزاری، ساتروزوم	فعالیت فاکتور رونویسی متعلق به DNA
		Regulation of DNA transcription, Regulation of cell proliferation, Development of anatomical structure	Nucleus, Golgi apparatus, Centrosome	DNA binding transcription factor activity, Transcription activator and repressor
RUNX3		فسفوریلاسیون پروتئین، تنظیم تمایز سلولی	هسته، سیتوپلاسم	اتصال فاکتور رونویسی ATP, اتصال DNA
		Protein phosphorylation, Regulation of cell differentiation	Nucleus, cytoplasm	ATP binding of transcription factor, DNA binding
NMRAL1		-	هسته، نوکلئوپلاسم	اتصال پروتئینی یکسان
CAPN8		هضم، پروتولیز	Nucleus, Nucleoplasm	Identical protein binding
		Digestion, Proteolysis	-	اتصال یون کلسیم، فعالیت اندوپتیداز
GFRA1		توسعه سیستم عصبی	غشاء، اگزوژوم خارج سلولی	فعالیت گیرنده Receiver activity
		Development of the nervous system	Membrane, Extracellular exosome	
PAPPA2		مورفوژن استخوان، پروتولیز	-	اتصال یون روی Zinc ion binding
		Bone morphogenesis, Proteolysis		اتصال فعال کننده رونویسی متعلق به DNA
ETV1		هدایت آکسون، تمایز سلولی، توسعه اندام عضلانی	هسته	DNA
		Axon guidance, Cell differentiation, Muscle organ development	Nucleus	DNA bound transcriptional activator
NR4A3		تنظیم رونویسی الگو DNA, تنفس سلولی، تمایز سلول‌های چربی، هموستاز انرژی، تنظیم چرخه سلولی	هسته، مجموعه فاکتور رونویسی	اتصال فعال کننده رونویسی اتصال به DNA, اتصال یون روی، اتصال گیرنده هورمون استروژنیدی
		DNA template transcription regulation, Cellular respiration, Adipocyte differentiation, Energy homeostasis, Cell cycle regulation	Nucleus, Transcription factor complex	Transcription activator binding, DNA binding, Zinc ion binding, Steroid hormone receptor binding
PDZK1IP1		-	غشاء، اگزوژوم خارج سلولی	-
CDH18		چسبندگی سلول‌های هموفیلی از طریق مولکول‌های چسبندگی غشای پلاسمایی	غشاء	اتصال یون کلسیم Calcium ion binding
		Adhesion of hemophilia cells through plasma membrane adhesion molecules	Membrane	
AvBD9		پاسخ دفاعی به باکتری گرم منفی و قارچ، شیمیوتاکسی سلولی	سیتوپلاسم، فضای خارج سلولی	اتصال شیمیابی جذب کننده، اتصال گیرنده‌های شیمیوکاین
		Defense response to Gram-negative bacteria and fungi, Cellular chemotaxis	Cytoplasm, Extracellular space	Chemoattractant binding, Binding of chemokine receptors
CD36		انتقال تری گلیسرید، فاگوسیستوز، تنظیم ذخیره کلسترول و چربی، تنظیم هموستاز انرژی، پاسخ به اسید لیپوئیلیک	دستگاه گلزاری، غشاء، فضای خارج سلولی	فعالیت گیرنده لیپوپروتئین با چگالی کم، اتصال چربی
		Triglyceride transfer, Phagocytosis,	Golgi apparatus,	Low-density lipoprotein

		Regulation of cholesterol and fat storage, Regulation of energy homeostasis, .Response to linoleic acid	Membrane, Extracellular space	Receptor activity, Lipid binding
GCNT3		مورفوژنز بافت و کلیه، تولید ایمونوگلوبولین در بافت مخاط	غشاء، غشای گلزی	فعالیت ترانسفراز انتقال گروههای گلیکوزیل
MMP9		Tissue and kidney morphogenesis, Immunoglobulin production in mucous tissue	Membrane, Golgi membrane	Transferase activity of glycosyl group transfer
SLITRK4		توسعه سیستم اسکلتی، تنظیم اتصال DNA، تنظیم مثبت فسفوریلاسیون پروتئین	فضا خارج سلولی، ماتریس خارج سلولی	اتصال یون روی، فعالیت اندوپیتیداز Zinc ion binding, Endopeptidase activity
CHL1		Development of the skeletal system, Regulation of DNA binding, Positive regulation of protein phosphorylation آکسونوژنسیس، تنظیم مثبت مجموعه سیناپس	Extracellular space, Extracellular matrix	اتصال به پروتئین Protein binding
ZC3H12D		Axonogenesis, Upregulation of synapse complex	غشاء Membrane	اتصال یون فلزی Metal ion binding
ADCY8		هدایت آکسون، تنظیم منفی فرایند آپوپتوز نورون Axon guidance, Negative regulation of neuron apoptosis process	غشاء، دندریت، قسمت آپیکال سلول Membrane, Dendrite, Apical part of the cell نوکلئوپلاسم Nucleoplasm	اتصال پروتئاز، اتصال پروتئین Protease binding, Protein binding
ENSGALG00000009041		-	-	فعالیت آدنیلات سیکلаз، فعالیت فسفراکسیژن لیاز
RUNX1		فرایند بیوستری Camp، تنظیم پاسخ سلولی به استرس، هموستاز گلوکن، مسیر سیگنال دهی گیرنده G	غشاء، دندریت و آکسون Membrane, Dendrite and Axon	Adenylate cyclase activity, Phosphoroxygen lyase activity
PHACTR3		Camp biosynthetic process, Regulation of cellular response to stress, Glucose homeostasis, G receptor signaling pathway	-	اتصال به پروتئین
ENSGALG00000008599		تغییر رونویسی الگوی DNA، تنظیم تمایز سلولی Regulation of DNA template transcription, Regulation of cell differentiation	هسته، نوکلئوپلاسم، سیتوپلاسم Nucleus, Nucleoplasm, Cytoplasm	اتصال ATP، اتصال DNA، فعالیت فاکتور رونویسی متصل به ATP binding, DNA binding, DNA binding transcription factor activity
FFAR4		-	نوکلئوپلاسم Nucleoplasm	اتصال پروتئین فسفاتاز ۱، فعالیت تنظیم کننده پروتئین فسفاتاز نوع ۱
ENSGALG000000046947		فرایند بیوستر کربوهیدرات Carbohydrate biosynthesis process تمایز سلول های چربی، تنظیم انتقال گلوکن، ترشح هورمون، تنظیم منفی پاسخ التهابی	غشاء Membrane	Binding of protein phosphatase 1, Regulatory activity of protein phosphatase type 1 فعالیت سولفورانسferاز Sulfotransferase activity
DGKB		Differentiation of fat cells, Regulation of glucose transport, Hormone secretion, Negative regulation of inflammatory response	غشاء پلاسمایی، وزیکول اندوسیتیک Plasma membrane, Endocytic vesicle	اتصال اسید چرب، فعالیت گیرنده های همراه با پروتئین G
		فاگوسیتیز، پاسخ ایمنی ذاتی Phagocytosis, Innate immune response	غشاء پلاسمایی، مجموعه ایمونوگلوبولین Plasma membrane, Immunoglobulin complex	Fatty acid binding, Activity of G protein-coupled receptors
		انتقال سیگنال درون سلولی، فرایند متابولیک	غشاء Membrane	اتصال آنتی زن، اتصال گیرنده ایمونوگلوبولین
				Antigen binding, Immunoglobulin receptor binding
				اتصال یون کلسیم، اتصال ATP، فعالیت

		گلیسرولیپید	دیاصل گلیسرول کیناز
		Intracellular signal transduction, Glycerolipid metabolic process	Calcium ion binding, ATP binding, Diacylglycerol kinase activity
ENSGALG00000051617		پاسخ ایمنی ذاتی، فاکوسیتوز، مسیر سیگنالینگ گیرنده سلول B	اتصال انتی ژن، اتصال گیرنده ایمونوگلوبولین
KREMEN1		مسیر سیگنال دهنده Wnt Wnt signaling pathway	قسمت خارجی غشاء
CYP3A5		فرآیند کاهش اکسیداسیون Oxidation reduction process	Immunoglobulin complex, Outer part of the membrane
CORIN		بروتولیز، تنظیم دفع سدیم کلیوی Proteolysis, Regulation of renal sodium excretion	غشاء، بدنه هسته، اسکلت سلولی اکتین Membrane, Nuclear body, Actin cytoskeleton

و PHACTR3، ENSGAL00000009041، CHL1، SLTRK4، TFAP2A، LHX1 (ژن‌های DNA)، تنظیم رونویسی (ژن‌های CORIN)، RUNX1 و NR4A3، ETV1، RUNX3، GCNT3، AvBD9، TMEM117، ENSGAL00000043996، ENSGAL00000051617 و ENSGAL00000046947، FFAR4، CD36، NR4A3، PNPLA3 (ژن‌های CAPN8، ANXA10، DGKB) و اتصال یون کلسیم (ژن‌های DGKB و CDH18). در بررسی آنالیز هستی‌شناسی ژن‌های شاخص متفاوت بیان شده در مرحله رشد دوره آهکی شدن پوسته

در بروزی آنالیز هستی شناختی شناختی ژن، در مرحله شروع، از ژن‌های ENSGALG00000049241، ENSGALG00000052817 و ENSGALG00000051964 هیچ اطلاعاتی یافت نشد. در هر دو گروه، ژن‌های با بیشترین بیان در فعالیت‌های متابولیسم چربی و پاسخ ایمنی نقش دارند و در این مرحله آهکی شدن پوسته، ژن ENSGAL00000044418 با بیشترین تفاوت بیان، در فعالیت تنظیم سیستم خون‌رسانی و رگزایی نقش دارد. به طور عمده ژن‌های شاخص شناسایی شده، جدول ۴، به ترتیب در فعالیت‌های اتصال NMRAL1 (ژن‌های ENSGAL00000044418،

جدول ۵- آنالیز هستی‌شناسی ژن‌های شاخص متفاوت بیان شده در مرحله رشد دوره آهکی شدن پوسته

Table 5- Gene ontology analysis of indicator genes differentially expressed in the growth stage of the calcification period

نام ژن	فرآیند زیستی	اجزای سلولی	عملکرد مولکولی
Gene name	Biological process	Cellular components	Molecular function
TMEM63C	حمل کاتیون Cation transport	غشاء Membrane	فعالیت کاتال کاتیونی Cation channel activity

جدول ۶- آنالیز هستی‌شناسی ژن‌های شاخص متفاوت بیان شده در مرحله خاتمه دوره آهکی شدن پوسته

Table 6- Gene ontology analysis of indicator genes differentially expressed in the termination stage of the calcification period

نام ژن	فرآیند زیستی	اجزای سلولی	عملکرد مولکولی
Gene name	Biological process	Cellular components	Molecular function
ENSGALG00000054226	مسیر سیگنالینگ گیرنده همراه با پروتئین G، تشخیص محرك شیمیایی دخیل در درک حس بویایی G protein-coupled receptor signaling pathway, Chemical stimulus recognition involved in olfactory perception	غشاء Membrane	فعالیت گیرنده‌های بویایی Activity of olfactory receptors
OGDH	چرخه تری کربوکسیلیک اسید، فرآیند کاهش اکسیداسیون Tricarboxylic acid cycle, Oxidation-reduction process	هسته، میتوکندری Nucleus, Mitochondria	اکسی گلوترات دهیدروژناز، اتصال یون روی Oxyglutarate dehydrogenase, Zinc ion binding

و پروتئین ضد میکروبی آن می‌تواند به محافظت در مقابل باکتری‌ها کمک کند (Jonchere et al., 2010).

نتیجه‌گیری کلی

در آنالیز بیان افتراقی ژن، با در نظر گرفتن log2(fold_change) در آنالیز بیان افتراقی ژن، با در نظر گرفتن (log2(fold_change)) بیشتر از +۴ و کمتر از -۴، در مرحله شروع، ۵۱ ژن، در مرحله رشد، دو ژن و در مرحله خاتمه چهار ژن مشخص شدند. بیشترین تفاوت بیان ژنی بین دو گروه در مرحله شروع، ژن‌های ENSGALG00000044418 و PDZK1IP1، در مرحله رشد، ENSGALG00000049618 ژن‌های ENSGALG00000048945 و TMEM63C و در مرحله خاتمه، ژن‌های ENSGALG00000049618 و ENSGALG00000054226 هستی‌شناسی ژن‌های شاخص نشان داد که به طور عمده به ترتیب در فعالیت‌های اتصال پروتئین، تنظیم رونویسی DNA، پاسخ ایمنی، متابولیسم چربی و اتصال یون کلسیم نقش دارند.

در بررسی آنالیز هستی‌شناسی ژن، در مرحله رشد، از ژن‌های ENSGALG00000048945، ENSGALG00000049618 و HSPB9، ENSGALG00000049618 و MIR12247-1 اطلاعاتی یافت نشد.

در پژوهشی، با هدف بررسی و مقایسه مسیرهای ژنومی انتخاب مقایسه‌ای و ژن‌های کاندیدای کلیدی مرتبط با صفات اقتصادی در ژنوم نژادهای بومی مرغ روسی سفید نوع تخم‌گذار و مرغ کورنیش سفید نوع گوشته در نهایت، ۴۵ منطقه ژنومی از جمله ژن‌های ANXA10، CD36 و PAPPA2 شناسایی شده‌اند (Abdelmanova et al., 2021).

در پژوهشی دیگر، با هدف بررسی دقت پیش‌بینی ژنومی صفت کیفیت پوسته تخم مرغ در لاین لگهورن سفید، ژن CAPN8 با نقش در فعل و افعالات با یون کلسیم و نقش در آهکی سازی پوسته تخم مرغ مورد شناسایی گردیده است (Wolc et al., 2020).

در پژوهشی دیگر، پروفایل بیان ژن برای شناسایی پروتئین‌های پوسته تخم مرغ که در دفاع فیزیکی آن نقش دارد مورد بررسی قرار گرفته است، که نتایج نشان داد، ژن AvBD9 در رحم مرغ بیان شده

References

1. Abdelmanova, A. S., Dotsev, A. V., Romanov, M. N., Stanishevskaya, O. I., Gladyr, E. A., Rodionov, A. N., Vetokh, A. N., Volkova, N. A., Fedorova, E. S., Gusev, I. V., Griffin, D. K., Brem, G., & Zinovieva, N. A. (2021). Unveiling comparative genomic trajectories of selection and key candidate genes in egg-type russian white and meat-type white cornish chickens. *Biology*, 10(9), 876. DOI: 10.3390/biology10090876
2. Andrews, S. (2010). FastQC: A quality control tool for high throughput sequence data. From: <http://www.bioinformatics.babraham.ac.uk/projects/fastqc>
3. Bahrami, A. (2020). Which aligner software is the best for our study?. *Genetics Research*, 7, 048. DOI: 10.23937/2378-3648/1410048
4. Banabazi, M. H., Naserkheil, M., & Miraei-Ashtiani, R. (2012). Network regulatory gene expression of cerevisiae cell cycle with correlation weight method. The third national conference on agricultural biotechnology iran. Ferdowsi University of Mashhad, Iran. (In Persian).
5. Banabazi, M. H., Naserkheil, M., & Miraei-Ashtiani, R. (2012). Algorithm to identify genes expressed differently in the yeast *Saccharomyces cerevisiae* microarray data using software packages R. The third national conference on agricultural biotechnology Iran. Ferdowsi University of Mashhad, Iran. (In Persian).
6. Bolger, A. M., Lohse, M., & Usadel, B. (2014). Trimmomatic: A flexible trimmer for Illumina sequence data. *Bioinformatics*, 30, 2114-2120. DOI: 10.1093/bioinformatics/btu170
7. Ekblom, R., & Galindo, J. (2010). Applications of next generation sequencing in molecular ecology of non-model organisms. *Heredity*, 107, 1-15. DOI: 10.1038/hdy.2010.152
8. FAO. (2020). *FAOSTAT*. <https://www.fao.org/faostat/en/#data/QCL/visualize/>
9. Gan, Q., Chepelev, I., Wei, G., Tarayrah, L., Cui, K., Zhao, K., & Chen, X. (2010). Dynamic regulation of alternative splicing and chromatin structure in *Drosophila* gonads revealed by RNA-seq. *Cell Research*, 20 (7), 763-783. DOI: 10.1038/cr.2010.64
10. Github. (2017). Cufflinks. <http://cole-trapnell-lab.github.io/cufflinks/>
11. Haas, B. J., & Zody, M. C. (2010). Advancing RNA-seq analysis. *Nature Biotechnology*, 28, 421. DOI: 10.1038/nbt0510-421
12. Jonchere, V., Rehault-Godbert, S., Hennequet-Antier, C., Cabau, C., Sibut, V., Cogburn, L. A., Nys, Y., & Gautron, J. (2010). Gene expression profiling to identify eggshell proteins involved in physical defense of the chicken egg. *BMC Genomics*, 11, 57. DOI: 10.1186/1471-2164-11-57
13. Kim, D., Langmead, B., & Salzberg, S. L. (2015). HISAT: A fast spliced aligner with low memory requirements. *Nature Methods*, 12, 357-360. DOI: 10.1038/nmeth.3317
14. Marguerat, S., & Bahler, J. (2010). RNA-seq: From technology to biology. *Cellular and Molecular Life Sciences*,

- 67, 569-579. DOI: [10.1007/s00018-009-0180-6](https://doi.org/10.1007/s00018-009-0180-6)
- 15. Mortazavi, A., Williams, B., McCue, K., Schaeffer, L., & Wold, B. (2008). Mapping and quantifying mammalian transcriptomes by RNA-Seq. *Nature Methods*, 5(7), 621-628. DOI: [10.1038/nmeth.1226](https://doi.org/10.1038/nmeth.1226)
 - 16. Sultan, M., Schulz, M. H., Richard, H., Magen, A., Klingenhoff, A., Scherf, M., & Schmidt, D. (2008). A global view of gene activity and alternative splicing by deep sequencing of the human transcriptome. *Science*, 321(5891), 956-960. DOI: [10.1126/science.1160342](https://doi.org/10.1126/science.1160342)
 - 17. Wilhelm, B. T., & Landry, J. R. (2009). RNA-seq quantitative measurement of expression through massively parallel RNA-sequencing. *Methods*, 48, 249-257. DOI: [10.1016/j.ymeth.2009.03.016](https://doi.org/10.1016/j.ymeth.2009.03.016)
 - 18. Wolc, A., Drobik-Czwarno, W., Jankowski, T., Arango, J., Settar, P., Fulton, J. E., Fernando, R. L., Garrick, D. J., & Dekkers, J. C. M. (2020). Accuracy of genomic prediction of shell quality in a white leghorn line. *Poultry Science*, 99, 2833-2840. DOI: [10.1016/j.psj.2020.01.019](https://doi.org/10.1016/j.psj.2020.01.019)